

УДК 539.293+621.382.81

ФИЗИКА

Академик АН УзССР Э. И. АДИРОВИЧ, Ю. М. ЮАБОВ, Г. Р. ЯГУДАЕВ

ПЛЕНОЧНЫЕ ФОТОДИОДНЫЕ МАТРИЦЫ  
НА ГЕТЕРОПЕРЕХОДАХ  $n\text{CdS} - p\text{CdTe}$

1. Обработка распределенного светового потока требует создания матричных структур на базе микроминиатюрных фотоприемников. Фоточувствительные матрицы могут быть использованы в качестве спектрального преобразователя изображения, следящей системы с обратной связью, безвакуумного аналога видикона и т. д. (<sup>1-10</sup>). Большинство матричных

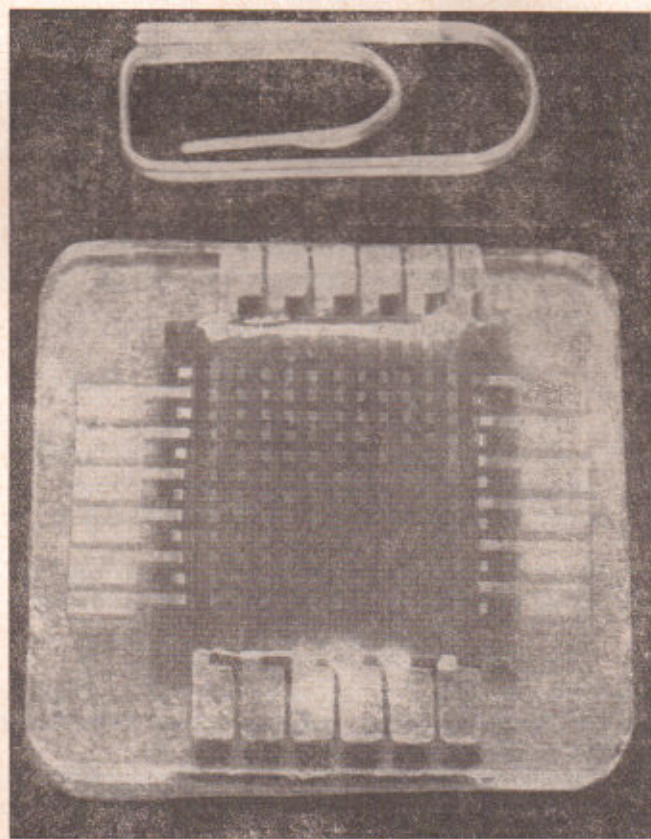


Рис. 1. Внешний вид фотодиодной матрицы

устройств разработано на основе планарной технологии, причем исходными материалами служат монокристаллические пластины кремния, германия, арсенида галлия и др. Современное состояние тонкопленочной технологии и ее возможности позволяют, по-видимому, решить эти же задачи без ограничения площади фоточувствительной матрицы.

В настоящем сообщении описывается пленочная фотодиодная матрица, изготовленная на базе гетеропереходов  $n\text{CdS} - p\text{CdTe}$ , некоторые харак-

теристики которых (вольт-амперные, люкс-вольтовые, спектральные и частотные) описаны в работе (11). Перспективность применения гетеродиодов в качестве приемников света обусловлена прежде всего тем обстоятельством, что они обладают широкой полосой спектральной чувствительности с почти постоянным значением квантового выхода, что весьма существенно при обработке оптического сигнала.

2. Внешний вид, электрическая схема и структура микрофотодиодов матрицы изображены на рис. 1 и 2. Эта матрица представляет собой гетероструктуру  $n\text{CdS} - p\text{CdTe}$  с двумя взаимно перпендикулярными системами

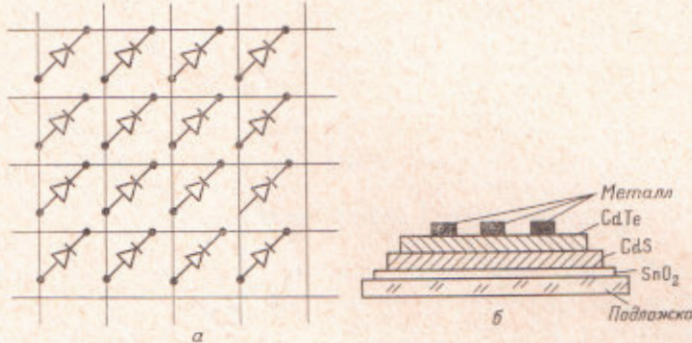


Рис. 2. а — электрическая схема матрицы; б — структура микрофотодиодов

растровых электродов — полосок SnO<sub>2</sub>, сквозь которые производится освещение структуры, и полосок меди, служащих верхними токосъемными электродами. Были изготовлены и исследованы пленочные матрицы со 144 фотодиодами на 1 см<sup>2</sup> при активной площади элемента 0,25 мм<sup>2</sup>. Достигнутая в этих лабораторных образцах плотность размещения элементов отнюдь не является технологически предельной.

Таблица 1

$K (V = \pm 2\text{ В})$	$J_{\text{обр}, a} (V = -1\text{ В})$	$J_{K, 3}, \mu\text{A}$ ( $I = 10^5 \text{ лк}$ )	$V_{x, x, 3}, \text{В}$ ( $I = 10^5 \text{ лк}$ )	$\Delta\lambda, \mu$	$\beta, \text{ма/лм}$
$10^3 \div 10^4$	$2 \cdot 10^{-7} \div 2 \cdot 10^{-8}$	$1 \div 0,15$	$0,46 \div 0,02$	$500 \div 900$	$2,5 \div 0,4$

3. Наиболее важной проблемой является обеспечение идентичности параметров фотодиодов, образующих матрицу. С этой целью на нескольких матрицах были измерены параметры всех микрофотодиодов. Такими параметрами служили: коэффициент выпрямления  $K$ , обратный темновой ток  $J_{\text{обр}}$ , фототок короткого замыкания  $J_{\text{к.з.}}$ , напряжение холостого хода  $V_{x,x}$ , интегральная фоточувствительность  $\beta$ , спектральная область фоточувствительности  $\Delta\lambda$ . Значения этих характеристик и пределы их разброса приведены в табл. 1.

Для работы матрицы в диодном режиме наиболее важным параметром является обратный темновой ток. Как видно из таблицы, в лабораторных образцах разброс обратного тока находится в пределах одного порядка. Этот факт накладывает ограничение на минимальную интенсивность света, которая может быть преобразована в электрический сигнал данной матрицей. Поскольку при интенсивности  $10^5$  лк ток короткого замыкания составляет  $10^{-6}$  а, минимальная интенсивность света, при которой фототок всех элементов будет идентичен, должна быть  $\approx 100$  лк.

Если обратный темновой ток и фототок разнесены в частотном диапазоне, то минимальная интенсивность света, которая может быть преобразована, определяется отношением сигнал/шум.

4. Для выяснения вопроса о механизме протекания тока через гетеропереход  $nCdS - pCdTe$  рассмотрим вольт-амперные (в.-а.х.) и температурные характеристики прямого тока \* (рис. 3 и 4). Эксперимент проводился на специально изготовленных единичных образцах с площадью гетероперехода 6  $\text{мм}^2$ .

Рассмотрим теоретические модели гетероперехода, предложенные различными авторами. Доннели и Милнес (12) анализируют четыре возмож-

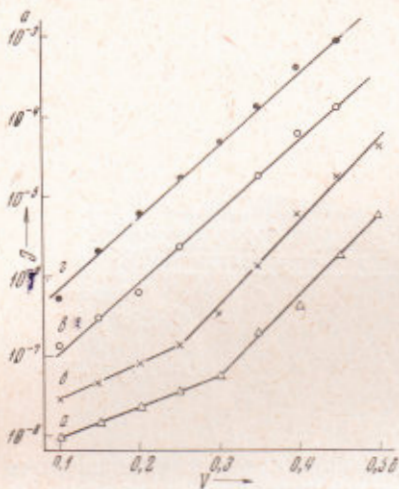


Рис. 3

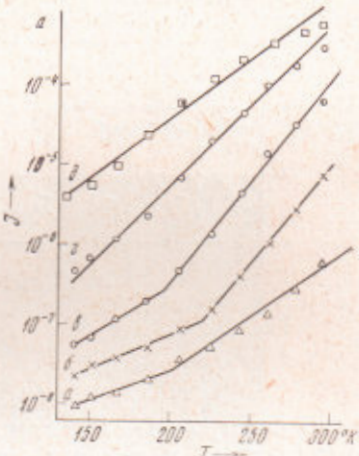


Рис. 4

Рис. 3. Прямая ветвь в.-а.х. при различных температурах: а — 140° К; б — 200° К; в — 250° К; г — 293° К

Рис. 4. Зависимость прямого тока от температуры при различных приложенных напряжениях: а — 0,1 в; б — 0,2 в; в — 0,3 в; г — 0,4 в; д — 0,5 в

ных механизмов: диффузионный (Андерсон (13)), эмиссионный (Перльман и Фехт (14)), рекомбинационный (Долега (15)) и тунNELНО-рекомбинационный (Рибен и Фехт (16, 17)).

Диффузионная, эмиссионная и рекомбинационная модели гетероперехода приводят к однотипным выражениям для прямого тока, из которых следует:

$$\ln J + \text{const} \propto \begin{cases} V & \text{при } T = \text{const}, \\ -\frac{1}{T} & \text{при } V = \text{const}. \end{cases} \quad (1)$$

Рибен и Фехт (16, 17), исследуя гетеропереход  $nGe - pGaAs$ , получили экспериментальные данные, не соответствующие ни одной из трех рассмотренных выше моделей. Зависимость  $\ln J$  от  $V$  у этих гетеропереходов имела практически одинаковый наклон при комнатной и азотной температурах. Температурная зависимость  $\ln J$  также не совпадала с выражением (1), а приближенно могла быть описана прямой  $BT$  или двумя такими прямолинейными участками. Как видно из рис. 3 и 4, аналогичный характер имеют полученные нами экспериментальные данные, относящиеся к структуре  $nCdS - pCdTe$ .

Модифицировав тунNELНО-рекомбинационную модель Чиновца (18), предложенную для объяснения избыточных токов в тунNELНЫХ диодах,

\* В этом исследовании принимала участие Г. И. Неймарк.

Рибен и Фехт получили следующее выражение для прямой ветви в.-а.х. гетероперехода:

$$J = BN_t \exp [-\alpha(V_d - k_2 V)], \quad (2)$$

где  $B = \text{const}$ ;  $N_t$  — плотность ловушек в области объемного заряда;

$$V_d = E_{g1} + \Delta E_v - kT \ln \frac{N_{v2} N_{c1}}{N_{d1} N_{a2}} \quad (3)$$

диффузионный потенциал;  $V$  — приложенное напряжение;  $k_2$  — коэффициент, показывающий долю падения напряжения в материале с более широкой зоной;

$$\alpha = \frac{8\pi}{3h} \left( \frac{m^* \kappa}{N_{a2}} \right)^{1/2}; \quad (4)$$

$m^*$  — эффективная масса дырок в широкозонном материале;  $N_{v2}, N_{c1}$  — плотности состояний в валентной зоне и зоне проводимости,  $N_{d1}$  и  $N_{a2}$  — концентрации основной примеси;  $\kappa$  — диэлектрическая проницаемость; индексы 1 и 2 относятся соответственно к узкозонному и широкозонному материалам.

Формула (2) соответствует туннельно-рекомбинационному механизму, согласно которому прохождение тока через гетеропереход осуществляется в результате одноступенчатой или многоступенчатой рекомбинации через локальные уровни и серии последовательных туннельных переходов с уровня на уровень сквозь область объемного заряда. Из формулы (2) следует, что зависимость  $\ln J$  от  $V$  должна быть прямолинейной с наклоном, не зависящим от температуры, а температурная зависимость прямого тока может быть обусловлена только зависимостью диффузионного потенциала от температуры. Согласно (3), это приводит к линейной зависимости  $\ln J$  от  $T$ .

Характер зависимости тока от напряжения и температуры, установленный нами для гетеропереходов  $n\text{CdS} - p\text{CdTe}$ , не соответствует диффузионной, эмиссионной и рекомбинационной моделям и находится в согласии с теорией Рибена и Фехта. Это позволяет сделать вывод, что прямой ток через гетеропереход  $n\text{CdS} - p\text{CdTe}$  обусловлен туннельно-рекомбинационным механизмом, причем количественное сопоставление эксперимента и теории показывает, что прохождение носителей через гетеропереход носит многоступенчатый характер.

Физико-технический институт им. С. В. Стародубцева  
Академии наук УзССР  
Ташкент

Поступило  
18 II 1970

#### ЦИТИРОВАННАЯ ЛИТЕРАТУРА

- <sup>1</sup> P. K. Weimer et al., Proc. IEEE, 55, 1591 (1967). <sup>2</sup> Электроника, 39, № 3, 56 (1966). <sup>3</sup> Электроника, 40, № 9, 19 (1967). <sup>4</sup> Электроника, 41, № 11, 49 (1968). <sup>5</sup> Электроника, 41, № 21, 53 (1968). <sup>6</sup> Радиоэлектроника за рубежом, № 26, 23 (1968). <sup>7</sup> Special Issue on Solid-State Imaging, IEEE Trans. on Electron Devices, ED-15, № 4, 1968. <sup>8</sup> M. A. Schueler, G. Strull, IEEE Trans. on Electron Devices, ED-13, № 12, 907 (1966). <sup>9</sup> P. K. Weimer et al., Proc. IEEE, 52, 1605 (1964). <sup>10</sup> Ф. Н. Масловский. Полупроводниковая техника и микроэлектроника, Киев, 1966, стр. 92. <sup>11</sup> Э. И. Адирович, Ю. М. Юабов, Г. Р. Ягудаев, Физ. и техн. полупроводников, 3, № 1, 81 (1969). <sup>12</sup> J. P. Donnelly, A. G. Milnes, Proc. IEE, 113, № 9, 1468 (1966). <sup>13</sup> R. L. Anderson, Solid-State Electronics, 5, 341 (1962). <sup>14</sup> S. S. Perlmann, D. L. Feucht, Solid-State Electronics, 7, 911 (1964). <sup>15</sup> V. Dolega, Zs. Naturforsch., 18, 653 (1963). <sup>16</sup> A. R. Riben, D. L. Feucht, Solid-State Electronics, 9, 1055 (1966). <sup>17</sup> A. R. Riben, D. L. Feucht, Int. J. Electronics, 20, № 6, 583 (1966). <sup>18</sup> A. G. Chynoweth, W. L. Feldman, R. A. Logan, Phys. Rev., 121, 684 (1961).